

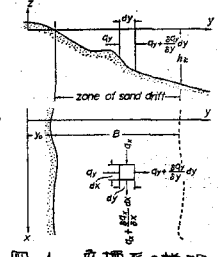
岐阜大学工学部 正会員 安田 春志  
岐阜大学工学部 学生員 中谷 勤

## 1. 緒言

本研究では、漂砂の連続式を一次元的に取扱い河口部周辺の海浜変形モデルを解析解の形で提案し、来襲波浪の入射角、河口幅及び流出土砂量の時間的変化を考慮した場合の変形特性の究明を試みる。

## 2. 海浜変形の基礎方程式

ここでは、海浜変形を解析解によつて一次元的に取扱う立場から、次の仮定の下で河口デルタの変形を扱う。 i) 海浜の断面形状は不变。 ii) 移動限界水深は不变。 iii) 岸冲方向漂砂は無視する。 iv) 乗漂砂は無視する。これら仮定を図-1のようにして座標系に対して与えられる一般的な海浜変形の基礎式<sup>1)</sup>に適用すれば、次式が得られる。



$$\frac{\partial q_y}{\partial t} = - \left\{ 1 / (1-\lambda) f_0 \right\} \left( \partial Q_R / \partial \theta \right) \frac{\partial q_y}{\partial x} + \left\{ 1 / (1-\lambda) f_0 \right\} q_y(y) \quad (1)$$

ここに、  
 $y_0$ ：基準点から汀線までの距離、  
 $\lambda$ ：底質の空隙率、  
 $f_0$ ：移動限界水深、  
 $Q_R$ ：沿岸漂砂量、  
 $q_y$ ：河口からの単位幅当たりの流出土砂量である。このときの初期および境界条件はそれぞれ次式で表わされる。

$$t = 0; q_y = f(x), x \rightarrow \pm \infty; q_y \rightarrow 0 \quad (2)$$

## 3. 河口デルタの変形予測モデル

1) 河口幅の影響を考慮した場合 まず、河口からの工砂流出が指数分布をし、 $q_y$ が次式で表わされる場合の予測モデルを示す。

$$q_y(x) = \left\{ 8 Q_R / B f_0 \right\} \exp \left\{ -(8x / B)^2 \right\} \quad (3)$$

ここに、  
 $B$ ：河口幅、  
 $Q_R$ ：河口からの単位時間当たりの流出土砂量である。これより  $f(x) = 0$ としたときの式(1)の解、すなわちこのときの予測モデルは次式の無次元表示で与えられる。

$$y_0^*(x^*, t^*) = \left\{ Q_R^* / 2 \sqrt{\pi} (1-\lambda) \right\} \left\{ -(B^*/8) \exp \left\{ -(8x^*/B^*)^2 \right\} + \sqrt{4t^* + (B^*/8)^2} \exp \left\{ -x^* / \sqrt{4t^* + (B^*/8)^2} \right\} \right\} - 1 \frac{x^*}{B^*} \sqrt{\pi} \operatorname{erf} \left( \frac{8|x^*|}{B^*} \right) - \operatorname{erf} \left[ \frac{|x^*|}{\sqrt{4t^* + (B^*/8)^2}} \right] \quad (4)$$

ここに、  
 $y_0^* = y_0 / f_0$ 、  
 $x^* = x / f_0$ 、  
 $t^* = t / (1-\lambda) f_0^3$ 、  
 $Q_R^* = Q_R (1-\lambda) / (70 Q_R / 100)$ 、  
 $B^* = B / f_0$ 、である。

つまゝ、河口からの土砂流出が一様分布をし、 $q_y$ が次式で表わされる場合の予測モデルを示す。

$$q_y(x) = Q_R / B \quad : -B / 2 \leq x \leq B / 2, \quad q_y(x) = 0 \quad : |x| > B / 2 \quad (5)$$

同様に、 $f(x) = 0$ とすれば、求める予測モデルは式(1)の解として次式で与えられる。

$$y_0^*(x^*, t^*) = \left\{ Q_R^* / 2 (1-\lambda) B^* \right\} \left\{ \operatorname{erf} \left\{ (x^* + B^*/2) / \sqrt{4(t^* - T)} \right\} - \operatorname{erf} \left\{ (x^* - B^*/2) / \sqrt{4(t^* - T)} \right\} \right\} \delta \quad (6)$$

2) 河口からの流出工砂量の時間的変化を考慮した場合 まず、 $q_y$ が次式によって連続的に変化する場合の予測モデルを示す。

$$q_y = \left\{ (Q_R)_1 / 2 \right\} \left[ \operatorname{erf} \left( (t-T) + \left\{ (Q_R)_2 / (Q_R)_1 \right\} \left\{ \operatorname{erf} \left( (t-T) + 1 \right) \right\} \right) \right] \delta(x) \quad (7)$$

ここに、  
 $(Q_R)_1$ ： $t < T$ における流出工砂量、  
 $(Q_R)_2$ ： $t > T$ における流出工砂量、  
 $\delta(x)$ はDirac

のデルタ関数であり、 $f(x)=0$ としたときの式(1)の解は次式で与えられる。

$$\psi^*(x, t) = \left\{ (Q_R^*) / 4\pi(1-\lambda) \right\} \int_{t^*}^t (t-t')^{-\frac{1}{2}} \exp\left\{ -x^2/4(t-t') + \left\{ (Q_R^*)^2 / (Q_R^*)_0 \right\} \operatorname{erfc}(t-t') + 1 \right\} dt \quad (8)$$

ついで、流出砂量が  $\alpha = T$  で不連続に変化する場合を取扱う。このとき、 $\theta_\alpha$ 、 $f(x)$  は次式となる。

$$f(x) = \left\{ (Q_R^*) / (1-\lambda) \right\} \left[ (1-\lambda) \ln T / \pi (Q_R^*/\lambda\theta) \right]^{\frac{1}{2}} \exp\left\{ -(1-\lambda) \ln x / 4t \partial_x / \partial\theta \right\} - \left[ (1-\lambda) \ln |x| / 2\partial_x / \partial\theta \right] \operatorname{erfc}\left\{ |x| / \sqrt{4t(\partial_x / \partial\theta)} / (1-\lambda) \ln \right\} \quad (9)$$

$$\theta_\alpha = (Q_R^*)_0 \delta Q_R \quad (10)$$

これより、式(1)の解は次式で与えられる。

$$\begin{aligned} \psi^*(x, t) = & \left\{ (Q_R^*) / (1-\lambda) \right\} \int_{t^*}^t \left[ \frac{1}{\pi \sqrt{4t}} \exp\left\{ -x^2/4t^* \right\} - \left( |x|/2 \right) \operatorname{erfc}\left\{ |x|/\sqrt{4t^*} \right\} \right] dt \\ & + \left\{ (Q_R^*)_0 / (1-\lambda) \right\} \left[ \frac{1}{\pi \sqrt{4t}} \exp\left\{ -x^2/4t^* \right\} - \left( |x|/2 \right) \operatorname{erfc}\left\{ |x|/\sqrt{4t^*} \right\} \right] \end{aligned} \quad (11)$$

3.) 来襲波浪の入射角のデルタの形状に対する影響を考慮した場合 デルタの形状に対する入射角の直接的影響を評価するため、点源流出の場合の海浜変形の基礎式として式(1)に代わり次式を用いる。

$$\partial_t \psi - \left\{ 1 / (1-\lambda) \right\} \left[ \partial_x \partial_\theta - (\partial_x / \partial\theta) (\partial_\theta / \partial x) \right] \partial_x \psi / \partial\theta + Q_R \delta(x) / (1-\lambda) \partial\theta. \quad (12)$$

上式は非線形項を含むため、線形化した式の解を予測モデルとして用いることにしておけば、それは次式で与えられる。

$$\psi^*(x, t) = \left\{ Q_R^* / (1-\lambda) \right\} \left[ \frac{1}{\sqrt{4t}} \exp\left\{ -x^2/4t^* \beta \right\} - \left( |x|/2\beta \right) \operatorname{erfc}\left\{ |x|/2\sqrt{t^*\beta} \right\} \right] \quad (13)$$

$$\beta = 1 + 2 \left\{ Q_R^* / (1-\lambda) \right\} \tan 2\theta_0 \left\{ \left( x^*/\sqrt{4t^*} \right) \exp\left\{ -x^2/4t^* \right\} - \operatorname{erfc}\left\{ |x^*|/2\sqrt{t^*} \right\} + \left( |x^*|/\sqrt{4t^*} \right) \exp\left\{ -x^2/4t^* \right\} \right\} \quad (14)$$

ここに、 $\theta_0$ ：来襲波浪の入射角である。

#### 4. 予測モデルによるヨコデルタの変形特性

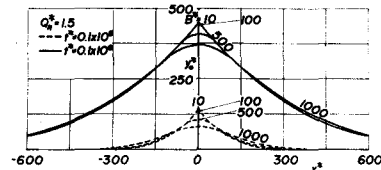


図-2 ヨコデルタに及ぼすヨコ口幅の影響  
[式(4)による場合]

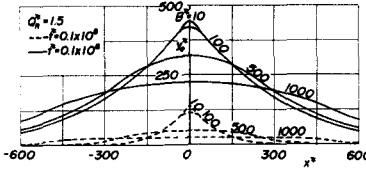


図-3 ヨコデルタに及ぼすヨコ口幅の影響  
[式(6)による場合]

紙面の関係上、考察は省略する時に述べる。

5. 結語  
以上、解釈の形で

表わされる

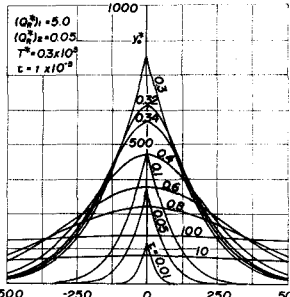
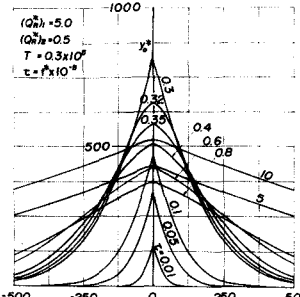


図-4 流出砂量変化的影響 [式(8)による場合]



ヨコデルタの予測モデルを提案し、それらによるヨコデルタの変形特性を明らかにすると同時に、入射角の影響によってヨコデルタに傾きが生じることを示した。

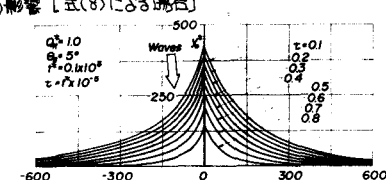


図-5 波高変化の影響 [式(11)による場合]

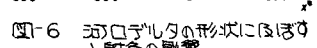


図-6 ヨコデルタの形状に及ぼす入射角の影響

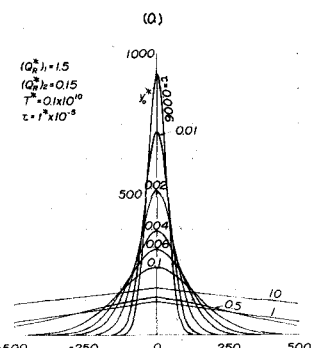
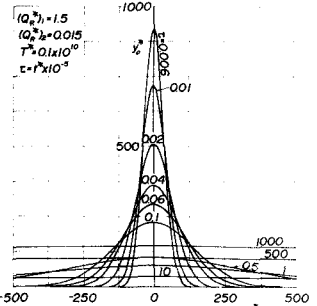


図-7 予測モデルによるヨコ横断面と実測値との比較

参考文献: 1)土屋義人, 安田孝志: 海浜変形の簡単なモデル, 第25回海講論文集, pp. 189-193, 1978.